

English Summary:

1.3 Work and conservative forces

$$\text{Work } W \equiv - \int_{r_1}^{r_2} \underline{F} \cdot d\underline{r} = V(r_2) - V(r_1)$$

\uparrow conservative force

$$\text{Power } P \equiv \frac{dW}{dt} = \underline{F} \cdot \dot{\underline{r}}$$

$\underline{F}(r) = -\text{grad } V(r)$, potential $V(r)$

$$\Leftrightarrow \text{rot } \underline{F} = 0$$
$$\Leftrightarrow \oint \underline{F} \cdot d\underline{r} = 0$$

$$\text{Energy conservation: } T + V = \boxed{\frac{m}{2} \dot{r}^2 + V(r) = E} = \text{const.}$$

(first integral of equations of motion)

1.4 Harmonische Schwingungen

Schwingung (Oszillation)

periodisch

$$f(t) = f(t+T) \quad \forall t$$

(T Periodendauer)

$$\nu = \frac{1}{T} \text{ Frequenz}$$

$$\omega = 2\pi\nu \text{ Kreisfreqn.}$$

harmonisch

$$f(t) \sim \sin(\omega t - \varphi)$$



lineare Osz.

(lineares Kraftgesetz)

z.B. Fadenpendel
bei kleiner Aussenk.

anharmonisch

z.B. Kippshwing.
(Sägezahns.)



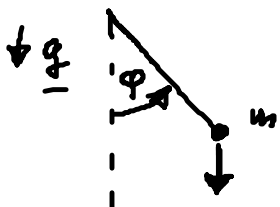
nichtlineare Osz.

(nichtlin. Kraftges.)

z.B. elekt. Stromkreis
(Relaxationsosz.)

Periodische Systeme

Pendel bei großer
Aussenkung



nichtperiodisch

(a) gedämpft



(b) quasiperiod.

(Überlagerung
mehrerer freqn.
 ν_i mit $\nu_i/\nu_j \notin \mathbb{Q}$)

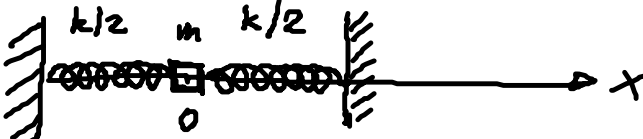
(c) chaotisch

(Überlagerung eines kontin.
Frequenzbandes,
empfindl. Abhängigkeit von
Anfangsbed.)

z.B. getriebenes Pendel
mit Überschlag

Harmonisch Oszillatör:

Schwingung einer Masse m an elast. Fäden mit Federkonst k
(1-dimensional)



Hooke'sches Gesetz: Rückstellkraft $F = -kx$, $k > 0$

Beweg. gl. $m\ddot{x} = -kx$

$$\Leftrightarrow \boxed{\ddot{x} + \omega_0^2 x = 0} \quad \text{mit } \omega_0 := \sqrt{\frac{k}{m}} \text{ Eigenfrequenz}$$

lin. Dgl. 2.-Ordn. mit konst. Koeff.

Lösungsansatz: $x(t) = e^{\lambda t}$

$$\Rightarrow \lambda^2 x + \omega_0^2 x = 0 \quad \Rightarrow \lambda = \pm i\omega_0 \text{ mit Eigenfreqn. } \omega_0$$

$$(\omega_0 = 2\pi\nu_0)$$

Allg. Lösung:

lineare Superposition

(wegen Linearität des Kraftgesetzes)

\Rightarrow lin. Dgl.

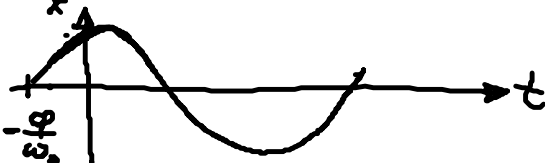
$$\boxed{x(t) = c_1 e^{i\omega_0 t} + c_2 e^{-i\omega_0 t}}$$

$$c_1, c_2 \in \mathbb{C}$$

$$c_2 = c_1^* \Rightarrow x \in \mathbb{R}$$

- Parametrisierung durch Ampplitude $A \in \mathbb{R}_+$ und Phase mit Phasenverschiebung $\varphi \in [0, 2\pi)$

$$\boxed{x(t) = A \sin(\omega_0 t + \varphi)}$$



- Festlegung von A, φ durch $\frac{\varphi}{\omega_0}$ Anfangsbed. $x(t=0), \dot{x}(t=0)$ (Dgl. 2. Ordn.)

- Darstellung der Oszillation im Phasenportrait:

Mit $y := \dot{x} = \frac{dx}{dt}$ lässt sich die Schwingung als dynamisches System,

$$\begin{cases} \dot{x} = y \\ \dot{y} = -\omega_0^2 x \end{cases}$$

$$\begin{pmatrix} x \\ y \end{pmatrix} \in \mathbb{R}^2$$

2-dim. Vektorfeld

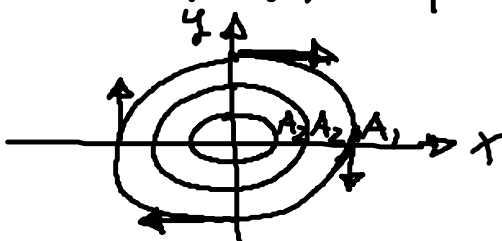
schreiben.

Die Menge aller Lösung $(x(t), y(t))$ lässt sich geometrisch in der (x, y) -Phasenebene veranschaulichen.

Trajektorien (Bahnkurven) $\begin{pmatrix} x(t) \\ y(t) \end{pmatrix} = A \begin{pmatrix} \cos(\omega_0 t + \varphi) \\ -\omega_0 \sin(\omega_0 t + \varphi) \end{pmatrix}$

konzentrische Ellipsen!

Für feste Energie ($\hat{=} \text{Ampplitude } A$) legt die Phase φ den Anfangswert fest.



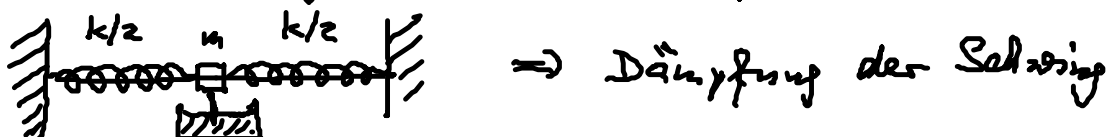
Phasenportrait

allg. : periodische Lösungen $\hat{=}$ geschlossene Kurven
 (nicht notwendig harmonisch)

s.lü.: math. Pendel (nichtlin. Dgl.)

Gedämpfte harmon. Schwingungen

In realem Syst.: Energie dissipation durch Reibungsverluste.



\Rightarrow Dämpfung der Schwingung

Beispiel: lineare Reibungskraft $-\beta \dot{x}$

$$\Rightarrow \ddot{x} + \frac{\omega_0}{Q} \dot{x} + \omega_0^2 x = 0 \quad \text{mit } \omega_0 := \sqrt{\frac{k}{m}}$$

"Größe" $Q := \frac{m\omega_0}{\beta}$ (Quality factor)

Lösungsansatz: $x(t) = e^{\lambda t}$

$$\Rightarrow \text{charakt. Gl. } \lambda^2 + \frac{\omega_0}{Q} \lambda + \omega_0^2 = 0$$

mit den Wurzeln

$$\lambda_{1,2} = -\frac{\omega_0}{2Q} \pm \sqrt{\frac{\omega_0^2}{4Q^2} - \omega_0^2}$$

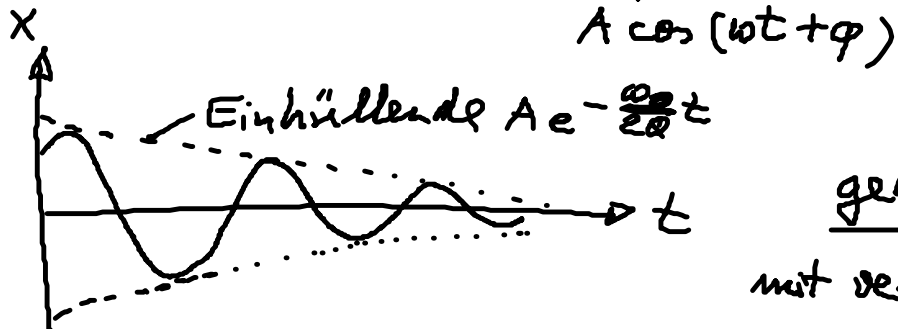
Fallunterscheidung

(i) $Q > \frac{1}{2}$ (schwache Dämpfung)

$$\lambda_{1,2} = -\frac{\omega_0}{2Q} \pm i\omega_0 \sqrt{1 - \left(\frac{1}{2Q}\right)^2}$$

$$\Rightarrow x(t) = e^{-\frac{\omega_0}{2Q}t} [c_1 e^{i\omega_0 t} + c_2 e^{-i\omega_0 t}]$$

mit $\omega = \omega_0 \sqrt{1 - \left(\frac{1}{2Q}\right)^2}$



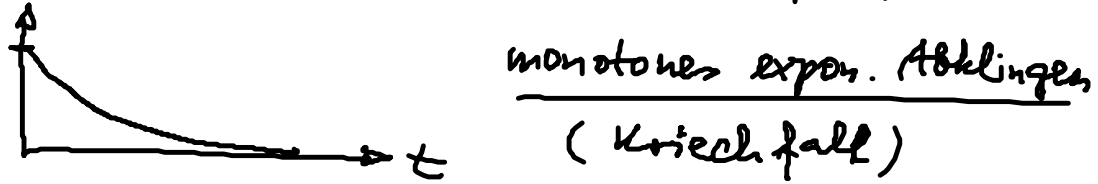
gedämpfte Schwingung

mit verminderten Frequenz

(ii) $Q < \frac{1}{2}$ (überdämpfter Fall)

$$\lambda_1, 2 = -\frac{\omega_0}{2Q} (1 \pm \sqrt{1 - 4Q^2}) < 0$$

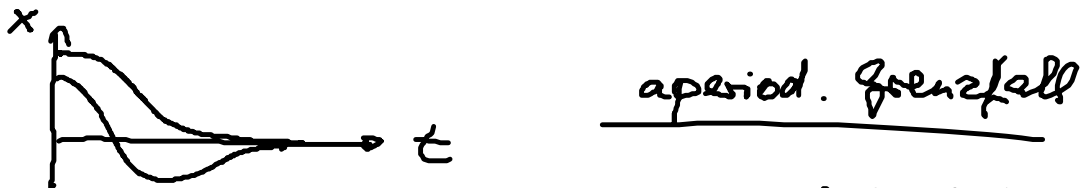
$$x(t) = c_1 e^{-|\lambda_1|t} + c_2 e^{-|\lambda_2|t}, \quad c_1, c_2 \in \mathbb{R}$$



(iii) $Q = \frac{1}{2}$ (kritische Dämpfung)

$$\lambda_1 = \lambda_2 = -\omega_0$$

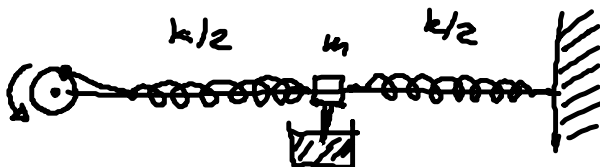
$$x(t) = a e^{-\omega_0 t} + b t e^{-\omega_0 t}$$



hängt stark von den Anfangsbed. ab!

1.5 Erzwungene Schwingungen

gedämpfter harmon. Osz. mit äußerer period. Kraft:



$$m\ddot{x} = -kx - \beta\dot{x} + k_0 \cos \omega_0 t$$

komplex:

$$\ddot{x} + \frac{\omega_0}{Q} \dot{x} + \omega_0^2 x = k_0 e^{i\omega_0 t}$$

$$k_0 = \frac{k_0}{m}$$

$$\text{Ansatz: } x(t) = x_0 e^{i\omega_0 t} \in \mathbb{C}$$

$$-\omega^2 x_0 + i\omega \frac{\omega_0}{Q} x_0 + \omega_0^2 x_0 = k_0$$

Bestimmungsgl. für komplexe Amplitude x_0 :

$$k_0$$

$$x_0 = \frac{w_0^2 - \omega^2 + i\omega \frac{w_0}{Q}}{\omega_0^2 - \omega^2 + i\omega \frac{w_0}{Q}}$$

Zerlegung einer komplexen Zahl nach Betrag u. Phase:

$$z \in \mathbb{C} : z = \alpha + i\beta = r e^{i\varphi} \quad r = \sqrt{\alpha^2 + \beta^2}$$

$$\varphi = \arctan \frac{\beta}{\alpha}$$

Aber $\underbrace{A(\omega) \in \mathbb{R}}$ reelle Ampl. $A(\omega) \in \mathbb{R}$

$$x_0 = \frac{k_0}{\sqrt{(\omega_0^2 - \omega^2)^2 + \omega^2 \frac{w_0^2}{Q^2}}} \exp \left\{ i\varphi(\omega) \right\}$$

$$\text{Phase } \varphi = \arctan \frac{-\omega w_0}{Q(\omega_0^2 - \omega^2)}$$

Allg. Lösung der inhom. Dgl.:

$$x(t) = A(\omega) e^{i(\omega t + \varphi(\omega))} + A_0 e^{-\frac{\omega_0}{2Q}t} \cos \left(\omega_0 \sqrt{1 - \frac{1}{4Q^2}} t + \varphi_0 \right)$$

spez. Lösung der
inhom. Dgl.

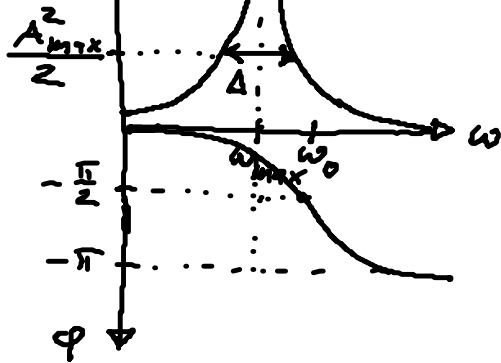
(partikuläres Integral)

allg. Lös. der hom. Dgl. ($Q > \frac{1}{2}$)

beschreibt Einschwingvorgang,
der exponentiell gedämpft
(Erfüllung der Auf. bed.)
durch Konst. A_0, φ_0

Bisk. der spez. inhom. Lsg.:

$$\frac{\text{Resonanzkurve}}{\text{(Lorentzkurve)}} \quad [A(\omega)]^2 = \frac{k_0^2}{(\omega_0^2 - \omega^2)^2 + \omega^2 \frac{w_0^2}{Q^2}}$$



$$\omega_{max} = \omega_0 \sqrt{1 - \frac{1}{2Q^2}} < \omega_0$$

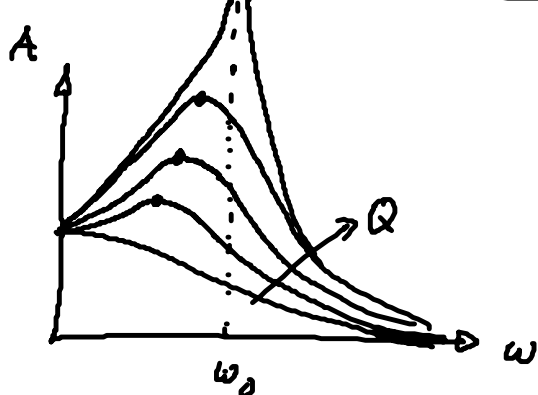
Breite der Resonanz (bgl. A^2)

FWHM = full width at half maximum Δ

$$\Delta = \Delta_+ + \Delta_- \quad (\text{asymm.!})$$

$$A(\omega_{max} \pm \Delta_{\pm}) \stackrel{!}{=} \frac{1}{2} [A(\omega_{max})]^2$$

Näherung für große Güte $Q \gg 1$ (schwache Dämpfung):

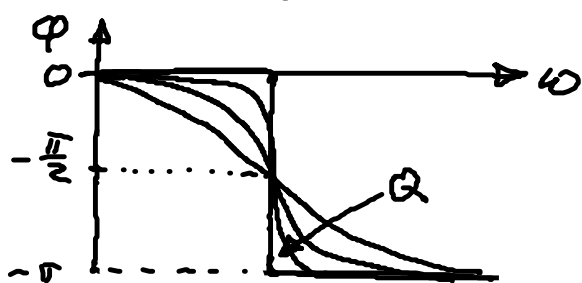


$$\Delta = \Delta_+ + \Delta_- \approx \frac{\omega_0}{Q}$$

Resonanzbreite umso kleiner,
je größer Q

$$\omega_{max} \approx \omega_0$$

$Q \rightarrow \infty : A_{max} \rightarrow \infty$ Resonanzkatastrophe



Phasenverschiebung!